

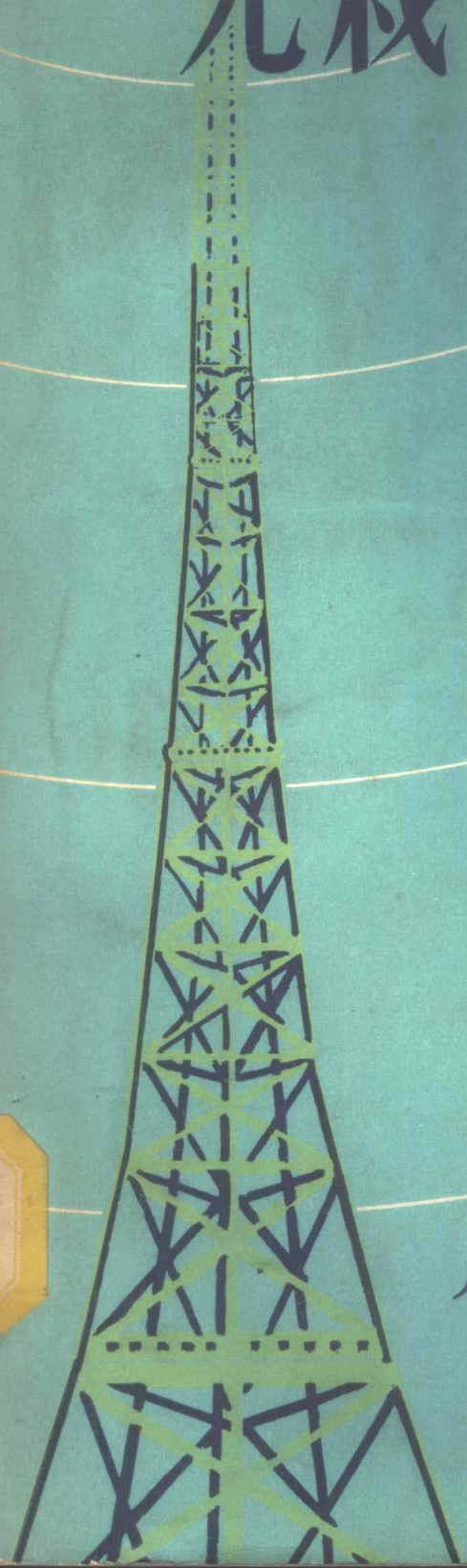
355313

50041  
8383

# 无线电发送设备

下册

錢鳳章編



人民教育出版社

# 无 线 电 发 送 設 备

下 册

錢 凤 章 編

人 民 教 育 出 版 社

本书是錢鳳章、陳篤信和孫文治合編的“無線電發送設備”上冊的續部分，講述超高頻發送設備。內容包括超高頻三極管振蕩器和放大器；速調管放大器和振蕩器；磁控管振蕩器；行波管放大器和振蕩器；以及脈冲發射機。

本書可作為高等學校“無線電發送設備”課程的參考書，同時也可供從事無線電發送設備的研究、設計的工程技術人員參考。

## 無 線 電 發 送 設 备 下 册

錢 鳳 章 編

北京市書刊出版業營業許可證出字第2号

人民教育出版社出版(北京景山東街)

人 民 教 育 印 刷 厂 印 裝

新 华 书 店 北京 发 行 所 发 行

各 地 新 华 书 店 經 售

統一書號K15010·1139  
開本 787×1092 1/16  
印張 20 5/8  
字數 429,000  
印數 0,001—3,200  
定價(7) 1.90  
1964年8月第1版  
1964年8月北京第1次印刷

## 序

本书上册已于 1961 年 9 月出版，現將超高頻部分繼續編成，列为下册出版。

由于超高頻发送技术比較新，牽涉的面比較广，我們尽量将能在其他課程中研究的內容刪去不談，集中注意力來討論必須由本課程研究的內容。

当频率高到米波和分米波段时，我們尙可用三极管配以長綫諧振器或同軸綫諧振器做成功率放大器或自激振蕩器。虽然电子管的工作状态已略受电子渡越时间的影响，但由于结构方面的改进(例如灯塔管，金屬陶瓷管)，它們所受的影响已大为减弱。因此我們將这一部分內容列在第八章(超高頻三极管振蕩器和放大器)的前部，表示它們处于短波与微波发送技术的过渡边缘。

在米波和分米波段范围内，电子管的工作已严重地受到它們自己的极間电容和引綫电感的影响，并且在它們所产生的高頻能量中有一小部分能量消耗在自己的管內結構上。由于电子管結構的改善，并用長綫諧振器或同軸綫諧振器与之配合，极間电容与引綫电感的問題已部分地得到解决。管內損耗(包括由于电子渡越时间引起的損耗)可当作与諧振迴路并联的一个損耗电阻来处理。这样对于工作在这一波段范围内的电子管工作状态的計算，仍可采用上册第三章的方法进行，仅需适当估計其管內損耗即可。長綫諧振器和同軸綫諧振器的計算方法亦在书中导出。因此可以說，对于在这一波段內工作的放大器和振蕩器的闡述，达到与上册相仿的标准，使讀者在讀完之后可以进行設計。

自第八章第八节起，开始討論在大渡越时间下工作的三极管內的电子运动現象，指出它們在极高頻率下工作时的缺点，用以作为轉入新式超高頻电子管理論探討的桥梁。在以后三章中討論了速調管，磁控管和行波管。討論方式都是从基本工作原理开始，尽可能引伸到实际运用时的工作特性，以作設計时的参考。由于这些电子管的工作原理比較复杂(特别是行波管)，一般先介紹結構概況，然后从物理概念來說明工作原理，最后用数学分析来加以证明。

由于作者业务水平不够，本书內容恐有不少錯誤之处，敬請讀者予以指正。

本册編写过程中，承上册合編者陈篤信与孙文治两同志提出宝贵意見，并承华南工学院馮秉銓教授于百忙之中詳細审閱本书原稿，改正某些錯誤，并建議将一切公式中的单位都改为米、千克、秒合理化制，使全书更加一致，作者深表感謝。

最后，对于中国科学院吳鴻适同志，成都電訊工程学院刘盛綱同志，以及清华大学发送設備教研組的同志表示謝意，因为作者在本书的某些部分中直接采用了他們的譯作。

錢鳳章

1963 年 6 月于南京工学院

## 前　　言

我們在上冊中已研究了發射電子管的特性，以及它們與諧振迴路相結合，成為自激振蕩器以產生高頻振蕩功率；或成為放大器把高頻功率加以放大。我們也研究了高頻振蕩功率的幅度調制或頻率調制，因此已具备了發射機各組成部分的必要知識。

在此下冊中，我們將繼續研究有關超高頻發送設備的知識。在超高頻發射機中我們將遇到的問題，基本上仍與低射頻時的一樣，即電子管與諧振迴路的聯合工作。但由於在超高頻時，電子管中出現了一些在低射頻時不顯著的現象，使電子管的工作複雜化，甚至不能工作。在較低頻率時，由電感線圈與電容器組成的諧振迴路，在超高頻時亦出現了某些不良現象，使它們的質量大為降低，以至于不能應用。因此，在超高頻發射機中應用的電子管，隨著工作頻率的升高，它們的結構必須隨之改變。同理，諧振迴路的結構也必須相應地改變。

超高頻（或微波）發射機與長、中、短波發射機的另一個不同之處是，高頻能量傳輸系統結構上的差別。在長、中、短波發射機中，我們用熟知的諧振迴路或雙導線式饋線（傳輸線）來把電子管給出的功率傳送到發射天線。在超高頻發射機中，則用同軸線饋線或波導來輸送。關於後兩種饋線的理論在其他課程中研究，這裡不加討論。

關於工作頻率逐漸升高，電子管中不良效應逐漸顯著的原因，可以概述如下。由於電子管不是理想的元件，它的各個電極有一定的面積，因而有極間電容存在。各個電極的引出線具有引線電感。這些參量在極低頻率時，如音頻放大器工作時，完全不起作用，因而可以忽略不計。當工作頻率升高到中波段時，極間電容的影響逐漸顯著，所以必須用中和電容器來消除電子管放大器中由於直通電容（板柵極間電容）造成的不穩定性。在短波段中工作時，功率放大器中不僅需要用中和電容器來平衡直通電容，而且還需要外加電感來平衡另一電極的引線電感。這些問題已在上冊第三章中研究過了。

當工作頻率再提高，進入米波段時，這些極間電容和引線電感不僅產生第三章中已討論過的直通和反作用效應，而且它們將和外接迴路一起構成複雜諧振迴路（閱8.3節），使振蕩器或放大器的工作複雜化，而不易控制。

由於電子管的各個電極之間有一定的距離，這又使得電子管在超高頻工作時，出現一個在低射頻工作時不顯著的現象。這現象稱為電子慣性現象。由於存在電子慣性現象，電子走過電極間的空間需要一定時間，這一時間稱為電子在電極間的渡越時間。在低射頻時，高頻振蕩的周期相對於電子渡越極間距離所需時間甚長。這就是說，在長、中、短波時，電子的渡越時間相對於振蕩周期是小到可以忽略不計的。因此在上冊所討論的問題中，我們不考慮電子的渡越時間。

當工作頻率升高到米波段而電子管的結構未加改善時，高頻振蕩的周期已縮短到可與電子的渡越時間相比較，因此必須考慮電子渡越時間對電子管工作的影响。首先，當電子從

电子管阴极发出，渡越由阴极到栅极間距离所需的时间成为高頻振蕩周期的相当大一部分（例如三分之一周期，或相当于 120 度）时，加到电子管栅极的激励电压对存在于柵阴空閒的电子的控制作用变坏，因而需要的激励功率增加，而实际穿过柵网，进入板柵空閒的电子数目反而减少（参阅 8.8 节）。这就使得板极的輸出功率减小，板极效率降低，以及电子管的功率放大系数亦减小。当工作頻率进一步升高，电子渡越柵阴极間距离的時間成为高頻振蕩周期的更大一部分时，有更大一部分电子将在不适当的时间內穿过柵网进入板柵空閒，它們不仅不能将它們从直流电源中取得的能量交給板柵极間的高頻電場（由板柵极間高頻电压产生），反而从高頻電場中吸取能量，从而使电子管的輸出功率迅速下降。当頻率高到某一数值时，輸出功率下降为零，这个頻率就是这一电子管的极限頻率。

由于普通电子管受到电子渡越时间的影响不可能应用于甚高頻率，人們不得不寻求新的工作原理来制造适用于甚高頻率的微波电子管。1920年德国科学家柏克好生公布的正柵三极管振蕩器試驗（閱 8.10 节）指出了一个新的发展方向。虽然，由于存在着某些缺点，这一振蕩器未能适时地发展成为实用微波电子管（最近又采用此法来产生亚毫米波，請參閱結語），但其中的一个最重要的原理——“电子振蕩”却为所有現代新式超高頻电子管所应用。由于利用了电子振蕩来产生超高頻振蕩功率，电子渡越时间就不再是一个有害現象，而是一个有利条件了。

速調管是利用电子束中电子的速度受到調变后，在一定距离的慣性运动中形成电子群，来产生放大或振蕩作用的。磁控管是利用电子从阴极向阳极作摆線运动的前进过程中，不断与高頻电磁場相互作用，将高頻电磁場放大，从而产生高頻振蕩功率。行波管則又結合速調管与磁控管的工作原理，使电子与行波电磁場相互作用，来产生放大或振蕩作用。所以，这些新式超高頻电子管都是利用了电子的渡越过程来实现对电磁場的放大作用。

由于这些新式电子管的工作原理与普通三极管的工作原理大有不同，因而它們的結構形式亦大有差別。其中最明显的一个差別是，除少数速調管外，在低射頻時常見的电子管与諧振迴路的独立性不再存在了。在速調管中，由于控制电子的作用（速度調制）与电子給出高頻能量的作用（輸出耦合）都是独立地在单个諧振腔的隙縫中进行的（參閱 9.2 节），所以在較低頻率（約 960—1400 兆赫）下工作的速調管尚可采用外加諧振腔的結構形式。在磁控管与行波管中，控制电子的作用与电子給出高頻能量的作用，都在阳极諧振腔系統（慢波迴路）与阴极間的相互作用空間中进行，它們的作用是分布的，而不是集中的（如在速調管中那样）。因此就无法把它們分割开来。正是由于这个原因，研究超高頻发送設備时就无法把超高頻电子管与超高頻諧振迴路各自独立地研究。这就是从表面上看來，下册的研究方法与上册略有不同的原因。

現将下册的研究方法概述如下。在第八章，超高頻三极管振蕩器与放大器一章中，我們首先討論三极管的結構随着工作頻率的升高而逐渐演变的过程，接着討論諧振迴路的演变及其計算公式。然后研究超高頻三极管振蕩器的綫路理論，机械結構形式，以及它們的設計与計算方法，以达到能进行工程設計为目的。这与上册的編排是完全一致的。

从 8.8 节，大电子渡越时间超高頻三极管的理論分析一节起，我們的討論方式略有不同，主要着重于討論电子管的工作原理和运用特性。其理由如上所述：在这些新式超高頻电子管中，电子器件与諧振迴路已成为不可分割的整体，而它們的工作原理和运用特性亦是这两部分的共同表現，不能孤立地来討論的缘故。

至于发射机的其他組成部分，如高頻功率的傳輸系統，因有其他專門課程讲授，亦如上册一样，这里不进行討論。超高頻振蕩器或放大器的幅度調制或頻率調制，基本上与上册中所讲的相同，不再重复。因此我們以第十二章，脉冲发射机作为下册的總結。在这一章里，除詳細地討論了大功率脉冲調制器的工作原理和設計方法外，还重点地以磁控管振蕩器为例，闡明了整架超高頻发射机的設計方法。

## 下册目录

序.....	iii
前言.....	vi
第八章 超高频三极管振荡器与放大器.....	1
8.1 超高频三极管的发展过程.....	1
8.2 超高频谐振系统的演变和分析.....	4
8.3 米波振荡器的线路分析.....	21
8.4 超高频三极管工作状态的特点.....	31
8.5 米波振荡器与放大器的设计.....	35
8.6 分米波振荡器的结构和元件.....	47
8.7 分米波振荡器的设计.....	63
8.8 大电子渡越时间超高频三极管的理论分析.....	70
8.9 超高频四极管.....	91
8.10 静电控制超高频三极管的缺点和新式超高频电子管工作原理的初步发现.....	93
第九章 速调管放大器和振荡器.....	97
9.1 双腔速调管概述.....	97
9.2 双腔速调管的工作原理.....	99
9.3 双腔速调管放大器的运用特性.....	109
9.4 双腔速调管的其他用途.....	121
9.5 多腔速调管放大器概述.....	125
9.6 多次群聚的理论分析.....	126
9.7 多腔速调管放大器的运用特性.....	132
9.8 多腔速调管的典型结构.....	135
9.9 反射速调管的工作原理.....	138
9.10 反射速调管的运用特性.....	149
9.11 反射速调管的典型结构.....	153
第十章 磁控管振荡器.....	156
10.1 早期磁控管.....	156
10.2 多腔磁控管概述.....	160
10.3 电子在正交恒定电磁场中的运动.....	161
10.4 电子与高频电磁场的能量交换.....	166
10.5 阳极谐振腔系统的谐振模式.....	169
10.6 简并模式.....	173
10.7 满足能量交换所需的电子旋转角速度.....	176
10.8 谐振腔系统中旋转场的空间谐波.....	180
10.9 振荡模式及其所需的阳极电压和磁通密度的比值.....	182
10.10 振荡模式的分隔.....	185
10.11 能量输出器与调谐机构.....	189
10.12 多腔磁控管的工作特性和负载特性.....	192
10.13 具有长馈线的磁控管振荡器的工作特点.....	201
10.14 提高磁控管振荡器频率稳定度的一些办法.....	207
10.15 磁控管的典型结构和工作数据.....	210

<b>第十一章 行波管放大器和振蕩器</b>	213
11.1 “O”型行波管結構概述	214
11.2 “O”型行波管放大器的工作原理	214
11.3 慢波迴路	228
11.4 “O”型行波管典型結構	232
11.5 “O”型返波管振蕩器	236
11.6 “M”型行波管放大器和返波管振蕩器	241
11.7 “E”型行波管和返波管振蕩器	247
11.8 电子波管放大器	249
11.9 行波管中的噪声	262
<b>第十二章 脉冲发射机</b>	264
12.1 脉冲发射机的一般問題	264
12.2 电容儲能脉冲調制器的工作原理	270
12.3 利用分布參量的長線和仿真線來實現電容儲能	274
12.4 仿真線儲能器的充電方式	280
12.5 电感儲能脉冲調制器的工作原理	283
12.6 剛性管脉冲調制器的線路分析和計算公式	285
12.7 仿真線脉冲調制器線路和計算公式	297
12.8 脉冲变压器的运用及設計	303
12.9 脉冲預調制器	312
12.10 电源供給	317
12.11 脉冲发射机举例	318
<b>結束語</b>	320

## 第八章 超高頻三極管振蕩器與放大器

我們在這一章里，首先研究當工作頻率逐漸升高時三極管結構的逐漸演變過程；接着討論作為電子管負載的諧振迴路的相應演變，以及與電子管的配合應用；然後分析超高頻三極管振蕩器與放大器的線路與結構，以及設計與計算方法；隨後又討論在電子渡越時間不可忽略的情況下工作的超高頻三極管中的電子運動現象和各種電流的概念，說明超高頻四極管比三極管優越的原因；最後總結靜電控制的超高頻電子管的根本性缺點，並指出趨向於動態控制的超高頻電子管的發展過程。

### 8.1 超高頻三極管的發展過程

近三十年來無線電事業沿着採用更高的頻率這個方向發展，因此在電子管的使用過程中不斷出現不良效應，如在前言中所述。為了滿足越來越高的工作頻率的需要，對發射三極管的構造亦進行了一系列的改變。這些改變的主要目的是：(1)減小電子管的極間電容和引線電感，(2)減小電子管中的介質損耗和發熱，(3)減小電子的渡越時間，(4)使電子管能與振蕩迴路緊密結合。

減小極間電容的方法，是將電子管中各個電極的引線分別從不同方向經玻璃泡引出，以減少引線間所形成的附加電容。採用粗而直的導體可以減小引線電感。取消支持各個電極的介質支架，而直接支持於玻璃泡，可以減小介質損耗。減小電子管各個電極間的距離，可以減小電子的渡越時間。

但減小電子管的極間距離，是與減小電子管的極間電容相矛盾的。為了達到同時減小的目的，各個電極的面積必須相應地減小，這就使得容許通過各電極的電流減小。所以在超高頻率下，要得到大的振蕩功率是比較困難的。

提高電極電壓，可以減小電子渡越時間（閱8.8節），但這又增加了各極上的功率損耗，在電極面積減小的情況下使電極更易發熱，所以不能任意採用。但在脈衝工作的超高頻三極管中可以較安全地使用，因為在脈衝間隔時間內有足夠長的時間，使電子管散熱。

減小電子管極間電容，也減小了它們的位移電流，因而也減小了位移電流流過它們的引線時所產生的電阻損耗，有利於減輕電子管的發熱情況。

超高頻三極管都採用發射效率高的氧化物陰極，以增加空間電荷，有利於柵極電壓的控制作用（參閱8.8節）。

現在用一電子管來具體的說明它們的發展過程。

圖8-1(甲)表示一老式長波振蕩三極管的典型結構。它的特點是在玻璃管泡中，採用玻璃芯柱及絕緣介質支持各個電極，電極的引線較長。玻璃泡上下各有金屬管座，引線的外端即裝在這些管座上。由於介質損耗很大（特別是在管座和管泡膠合處的膠合材料中，以及

在栅极引线和阴极引线通过的管座中的塑料圆盘中的损耗更大), 这种三极管在 50—100 米波段中已不能很好地工作了。

图 8-1(乙)示出改进后的三极管的结构。在这个电子管中没有管座, 因此在 25—50 米波段中仍然可以工作。但工作频率再进一步提高时, 这种结构的缺点就暴露出来。由于栅极和阴极的引线靠得太近, 栅阴极间电容增加了, 因而它的位移电流也增加了, 这就使处在引线间的玻璃发热。

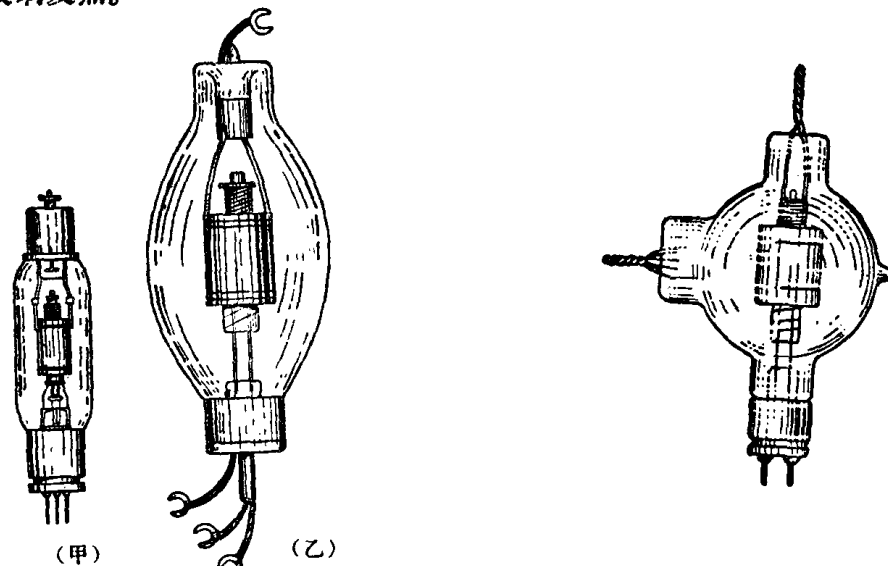


图 8-1. 长波振荡三极管：  
(甲) ГД-100 型; (乙) ГД-1000 型。

图 8-2. ГУ-500 振荡三极管。

因此人们将振荡三极管的结构又改进一步, 如图 8-2 中所采用的 ГУ-500 型那样。在这个电子管中不仅板极引线远离阴极引线, 而且栅极引线也远离其他两极的引线。此外还采用了较粗的导线作引线, 以减小引线的电感, 并减小位移电流所产生的电阻损耗。这样结构的电子管已能在米波波段的较长一端(4—10 米)工作。

电子管结构的进一步改进是缩小玻璃泡的尺寸以缩短引线的长度, 并采用粗而坚实的导体作引线, 使各个电极直接支持于玻璃泡以减小介质损耗到最小限度, 如图 8-3 中所示的

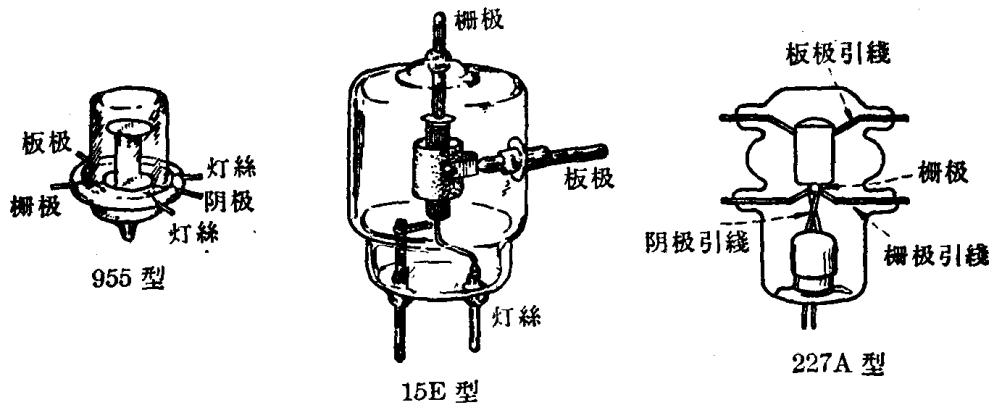


图 8-3. 三种介质损耗小的超高频三极管。

三种形式。图中 15E 型三极管适用于雷达发射机，在 500 兆赫（波长 60 厘米）频率下工作时可给出约四千瓦的脉冲高频功率。955 型“橡实管”是小功率三极管，适宜于接收机中作本机振荡器之用，可在略高一些频率下连续工作。227A 型三极管的板极与栅极各有两根引线，适宜于安装在两端短路的长度为二分之一波长的双导线式传输线谐振回路的中间，以减小引线电感与极间电容的实际效应（参阅图 8-34 及其说明）。

图 8-4 表示一适用于同轴线谐振回路（封闭式谐振腔）的超高频三极管。板极处于玻璃泡中间，板极之外套以金属散热器。板极之内为栅极，其结构与图 8-3 中所示的 15E 型的栅极结构相类似。栅极引线与灯丝引线从两端的玻璃泡中引出。这一类型的电子管最适用于共板极线路，其中有些电子管可工作于 600 兆赫（波长 50 厘米）频率而给出约 200 千瓦的脉冲高频振荡功率。

为了进一步减小电子渡越时间，就出现了采用平板电极的超高频三极管，如图 8-5 所示的“灯塔管”和图 8-6 所示的

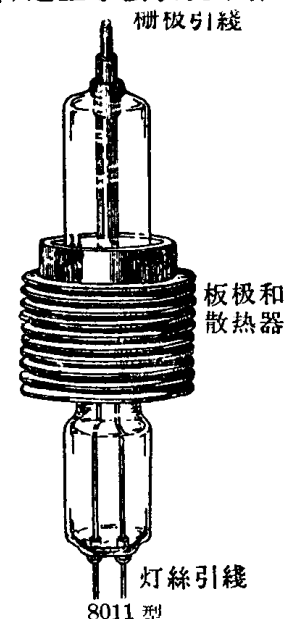


图 8-4. 板极外露的超高频三极管。

金属陶瓷管<sup>①</sup>。在这种电子管中可以使栅阴极间的距离小到约为 (0.1—0.2) 毫米，而板栅极间的距离约为 (0.3—0.5) 毫米。这种电子管适用于整个分米波段和部分厘米波段。由于这些电子管采用圆盘形引线，它们可以与同轴线封闭式谐振器紧密配合。因为栅极引

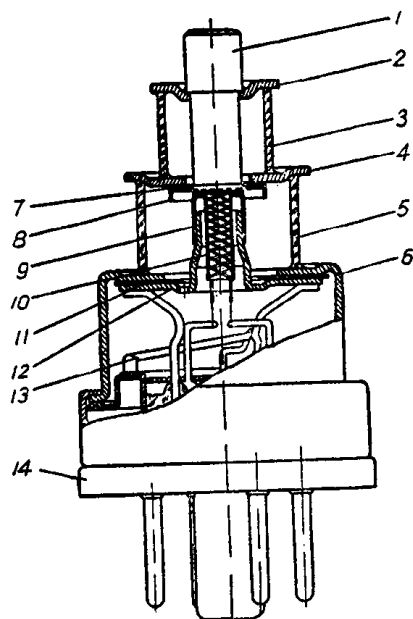


图 8-5. 6C51 灯塔三极管：

1—板极；2—板极圆盘；3—板极绝缘体；4—栅极圆盘；5—栅极绝缘体；6—管罩；7—栅极；8—屏蔽；9—阴极；10—灯丝；11—电容器的云母；12—法兰盘；13—气体吸收器；14—底层衬垫。

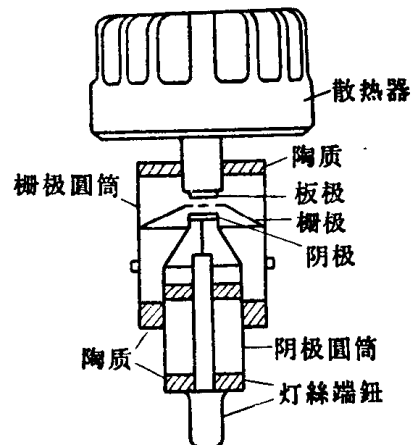


图 8-6. ГИ-66 金属陶瓷三极管。

<sup>①</sup> 金属陶瓷管比金属玻璃管的优点是，金属陶瓷的高频损耗比较小，耐温度高。由于后一原因，在制造过程中可在较高温度下处理，因而电子管的性能比较稳定。由于陶瓷与金属的焊接是在陶瓷不变形的状态下获得的，所以极间距可以做得更准确些。

线处于板极引线与阴极引线之间，它们最适用于共栅极线路。

除了上述演变外，某些超高频脉冲三极管采用了电子管与谐振腔合一的结构，因此整个电子管就是一个自激振荡器。在这种电子管中，真空区域扩大到电极与谐振腔的全部空间。为了叙述的便利起见，具体结构（见图 8-68）留在 8.6 节中讨论。

## 8.2 超高频谐振系统的演变和分析

我们知道由集总参数的电感线圈和电容器组成的谐振系统能够在很宽的频段范围内工作。但到了超高频时，所需的电感量和电容量都很小，它们的制造变得很困难。此外还出现下列一些缺点：

- (1) 品质因数低——由于辐射损耗，介质损耗，周围物体中的感应电流损耗，线圈和导线中的电流损耗（由于集肤效应与邻近效应而更增大）等造成；
- (2) 杂散电磁场——产生不希望有的电磁场耦合，以及在周围零件中产生额外损耗；
- (3) 谐振频率的标准度低——不能使谐振频率稳定不变。

以上这些缺点，频率愈高时愈严重。所以当工作频率逐渐升高时，必须采用更为合适的谐振系统。

在超高频发送设备中常用的谐振系统有：(1)长线式谐振器，(2)蝶形回路和(3)封闭式谐振器。在具体设备中究竟采用哪一种谐振系统，应该按频率、功率和振荡管的类型来决定。

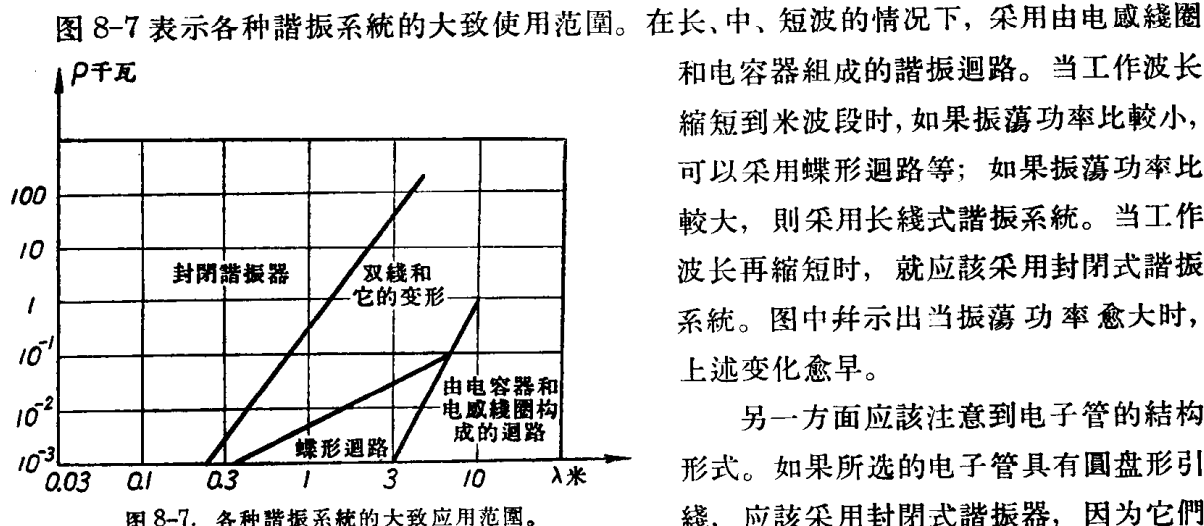


图 8-7 各种谐振系统的大致应用范围。

图 8-7 表示各种谐振系统的大致使用范围。在长、中、短波的情况下，采用由电感线圈和电容器组成的谐振回路。当工作波长缩短到米波段时，如果振荡功率比较小，可以采用蝶形回路等；如果振荡功率比较大，则采用长线式谐振系统。当工作波长再缩短时，就应该采用封闭式谐振系统。图中并示出当振荡功率愈大时，上述变化愈早。

另一方面应该注意到电子管的结构形式。如果所选的电子管具有圆盘形引线，应该采用封闭式谐振器，因为它们

可以密切地配合。如果具有导线式引线，则采用长线式谐振器或蝶形回路。

现在将各种谐振系统讨论如下。

1. 蝶形回路的设计避免了普通集总参数谐振回路的某些缺点。它具有相当高的品质因数，很宽的可调谐振频率范围，足够高的谐振频率稳定性，而且在整个回路中没有滑动接触点。

图 8-8 表示一典型蝶形回路的结构。它的定片分成  $a, a$  两部分，由两段圆弧连成整体。

動片在其中旋轉。當動片與定片完全重疊時[圖 8-8(乙)]，迴路的電容量最大。電容電流經兩部分定片間的兩段圓弧流通，產生磁通。這圓弧部分便形成迴路的電感量（兩部分並聯着）。這時電感量亦最大，所以這時迴路的諧振頻率最低。當動片轉出時，電容量減小。

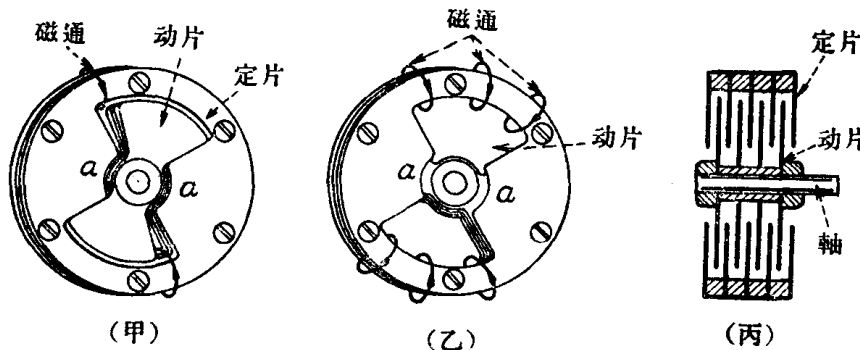


圖 8-8. 蝶形諧振迴路：(甲)最高諧振頻率時動片的位置；(乙)最低諧振頻率時動片的位置；(丙)剖面圖。

在磁通範圍內的部分動片對磁通形成渦流屏蔽，因而使圓弧部分的有效電感量減小。這樣雙重的減小，使諧振頻率大為提高，所以在設計優良的蝶形迴路中，很易得到 3:1 或 5:1 的諧振頻率範圍。

圖 8-8(甲) 中  $a-a$  兩點是蝶形迴路作為並聯諧振迴路時的最大阻抗端點，所以應該接在三極管的板極和柵極之間以組成超高頻振蕩器線路，如圖 8-9 所示。

蝶形迴路振蕩器最適宜在寬頻帶範圍內工作而產生小的振蕩功率，所以它們常作為在 100 到 1000 兆赫範圍內的接收機的本機振蕩器，測量用的振蕩器，或信號發生器。

## 2. 長線諧振器

長線諧振器是利用一段短於四分之一波長的雙導線式傳輸線，一端短路而在其輸入端所呈顯的感抗，與其所聯接的電子管的極間電容所組成，如圖 8-10 所示。為了調諧方便，短路橋做成滑動式，如圖 8-11(甲) 所示。

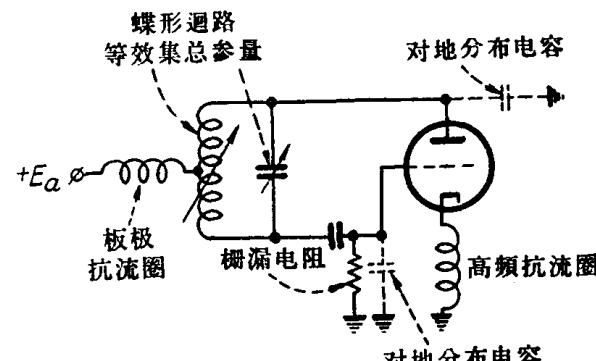


圖 8-9. 蝶形迴路振蕩器線路。

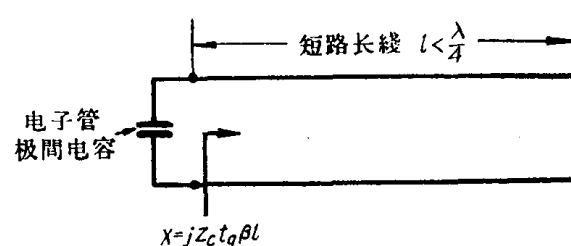


圖 8-10. 長線諧振器。

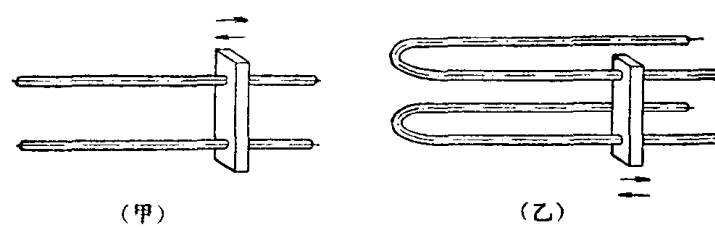


圖 8-11. 長線諧振器。

在波长较长的时候，往往把长线弯折，以缩短它的尺寸，如图 8-11(乙)所示。有时甚至还卷成两条螺线，如图 8-12 所示。这时短路桥和引线都用接触滑轮或接触刷来联接长线，如图 8-12 所示。

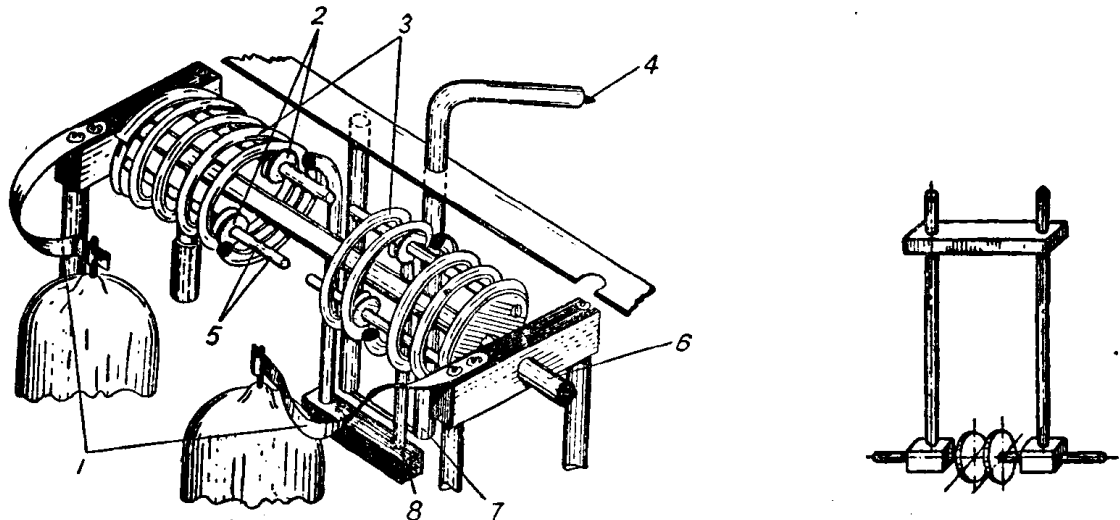


图 8-12. 线圈缠绕的长线谐振器（用作推挽放大器的板极负载）：  
1—板极接线；2—滑轮接点；3—反向缠绕的两根导线；4—负载馈线；  
5—可旋转的滑轮支轴；6—旋转轴；7—与负载馈线耦合的平衡变压器；  
8—用来与负载馈线耦合的双导线的末端。

图 8-13. 附加可变电容的长  
线谐振器。

在需要复盖的波段很宽时，或者工作频率较低时，可在长线的输入端附加一只可变电容器，如图 8-13 所示。

由于双导线式长线本身是对地平衡的，所以它最适用于电子管的推挽线路。

长线谐振器具有下列优点：(1)品质因数  $Q$  值高(在米波段)，(2)结构比较简单而价廉，(3)线的电长度的改变比较便利，(4)可以利用(合适型式)电子管的引线作为长线的一部分，因而部分地解决了引线电感的不良效应。

长线谐振器的谐振条件由下式决定：

$$\frac{1}{\omega C} = Z_c \operatorname{tg} \beta l, \quad (8-2-1)$$

其中  $\omega$ ——振荡器或放大器的工作角频率，单位为弧度；

$C$ ——电子管极间电容(如有附加电容，则为总电容量)，单位为法；

$Z_c$ ——长线的波阻抗(特性阻抗)，单位为欧；

$\beta = \frac{2\pi}{\lambda}$ ，其中  $\lambda$  是工作波长，单位为米；

$l$ ——长线的长度，单位为米。

为了计算方便起见，可将(8-2-1)式改写成：

$$\frac{530\lambda}{C} = Z_c \operatorname{tg} \frac{2\pi}{\lambda} l,$$

其中各量的单位除  $C$  改为微微法外，其余的均与上列相同。

平衡長線的波阻抗可按下式計算：

$$Z_c \approx 276 \lg \frac{2D}{d}, \quad (8-2-2)$$

其中  $D$ ——兩導線中心間的距離，單位為米；

$d$ ——導線的直徑，單位為米。

上式在  $2D \gg d$  的條件下是正確的，這在實際結構中通常是符合的。

由於超高頻電流不滲透到金屬內部，而只集中在金屬表面很薄的一層內，因此平衡長線每單位長度（米）的電阻，在  $2D \gg d$  的條件下可用下式計算：

$$R = 2 \frac{R_1}{\pi d}, \quad (8-2-3)$$

其中

$$R_1 = 0.0045 \sqrt{\frac{N}{\lambda}} \text{ (歐)}$$

是一平方米（理想）平滑金屬表面層的電阻。其中  $\lambda$  是波長（米）， $N$  是金屬的電阻率與純銅（在直流情況下）在  $20^{\circ}\text{C}$  時的電阻率的比值。

上列（8-2-3）式沒有考慮長線的輻射損耗。但輻射損耗可能是相當大的。如果用屏蔽罩將長線封閉起來，可以消除輻射損耗，但同時却增加了屏蔽罩的渦流損耗。

用絕緣體固定導線時，介質損耗和並聯電容都會增加。所以絕緣體越少越好，而且最好都安裝在長線上的電壓波節附近。所有的絕緣體都應該由高質量介質制成，在大功率振蕩器或放大器中使用時，更應該檢查它們的發熱程度，是否超過容許極限。

還應該注意，如果短路橋是用尺寸比導線間距離大許多倍的方形或圓形金屬板做成，那就可以認為它的阻抗等於零。如果不是這樣的話，短路橋的阻抗不可忽略，它的大小決定於短路橋的斷面尺寸。假定這些尺寸和導線直徑具有同一數量級，則可以近似地認為它的波阻抗與長線的一樣，而認為正確的短路位置是位於短路橋的中點。因此長線的長度應該按圖 8-14 所示的方法來計算。

最後指出，（8-2-1）式中的正切項是周期性函數，因此（8-2-1）式有無限多個解，也就是說這一長線諧振器具有無限多個諧振模式。每個諧振模式的諧振波長  $\lambda_n$  與諧振線長度  $l$  之間的關係由下式表示：

$$\frac{2\pi l}{\lambda_n} < \frac{\pi}{2} + n\pi,$$

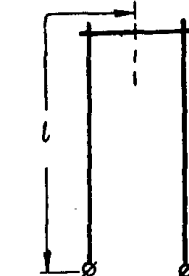


圖 8-14. 諧振長線  
長度的計算方法。

其中  $n=0, 1, 2, \dots$  是一個正整數。如果  $n=0$ ，稱為基本諧振模式，諧振線長度小於  $\frac{1}{4}$  諧振波長，或諧振波長  $\lambda_0 > 4l$ 。 $n=1$ ，稱為第一次泛音諧振模式，諧振線長度大於  $\frac{1}{2}$  諧振波長而小於  $\frac{3}{4}$  諧振波長，或諧振波長  $\lambda_1$  处於  $1.33l < \lambda_1 < 2l$  范圍之內。 $n=2$  或  $3$ ，稱為第二次或第三次泛音諧振模式，而諧振波長更為縮短。

圖 8-15 表示(8-2-1)式的圖解方法。圖中以  $\frac{\lambda}{l}$  作橫坐標,  $\operatorname{tg} \frac{2\pi l}{\lambda}$  和  $\frac{530\lambda}{CZ_c}$  作縱坐標。直線與各段正切曲線的交點定出各次泛音譜振波長  $\lambda_1, \lambda_2 \dots$  等。

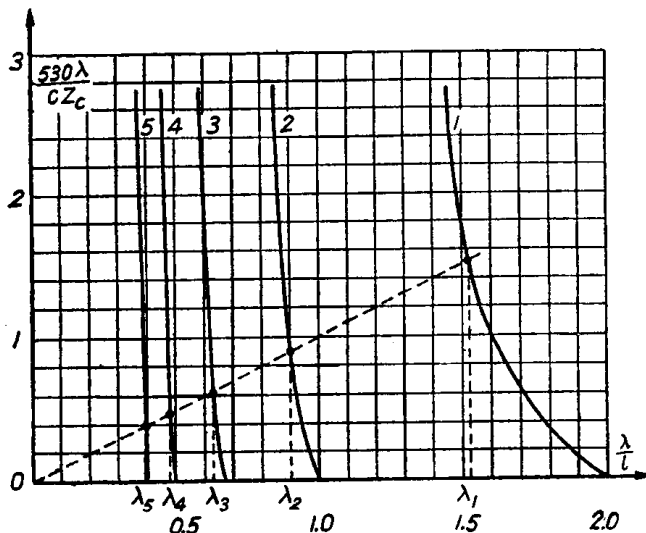


圖 8-15. 長綫諧振器具有多个諧振模式。

由於長綫諧振器具有這種多模式諧振特性，自激振蕩器有可能激發於不需要的諧振模式，因而產生波長遠離於需要數值的振蕩。也有可能同時激發不止一個諧振模式，因而同時輻射幾個波長的振蕩。這在設計長綫諧振器以及封閉式諧振器的自激振蕩器時必須注意並避免之。

### 3. 封閉式諧振器

當工作波長縮短到分米波段與厘米波段時，長綫諧振器的輻射損耗增大，使諧振器的無載品質因數大為降低。因此

就不得不采用封閉式諧振系統。封閉式諧振系統的优点是：(1)由於電磁場完全被封閉在金屬罩之內，完全無輻射損耗；(2)由於同樣理由，不受外界電磁場影響，因而諧振頻率的穩定度高；(3)金屬罩內壁的導電面積大，因而電阻損耗小，在重要設備中還將內壁精細加工後鍍銀，以便進一步減小其電阻損耗；(4)由於以上三個原因，諧振器的無載品質因數高；(5)諧振頻率可以在相當寬的範圍內調變；(6)可以與具有圓盤形電極引線的電子管在結構上緊密配合應用。

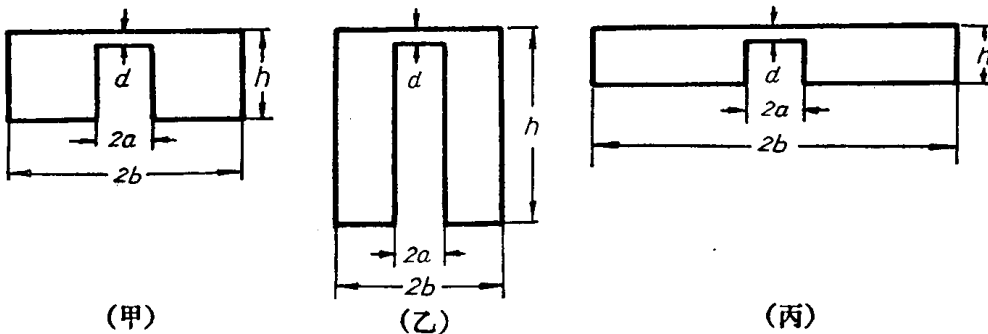


圖 8-16. 封閉式諧振器：  
(甲) 環形諧振器；(乙) 同軸綫式諧振器；(丙) 輻向綫式諧振器。

最常用的封閉式諧振器如圖 8-16 所示。按圖中所标的尺寸符號，可以分為三種型式：

- (1) 環形諧振器，當  $b - a \approx h$ ；
- (2) 同軸綫式諧振器，當  $b - a < h$ ；
- (3) 輻向綫式諧振器，當  $b - a > h$ 。

它們都是對一個中心軸對稱的旋轉體，並且都在對稱軸的一端具有緊靠着的小圓形腔壁。